



## РАЗРАБОТКА ГАЗОГИДРАТОВ СОВРЕМЕННЫМИ ТЕХНОЛОГИЯМИ

*Хабиров В. В.\* , Хабиров С. В.\*\**

\*Институт физики Земли им. О. Ю. Шмидта, Москва

\*\*Институт механики УНЦ РАН, Уфа

**Аннотация.** Предложена схема добычи газа из газогидратов на подводных склонах. Перечислены существующие современные технологии, которые должны быть использованы. Математический аппарат для расчетов описывает фильтрацию многофазных сред в подвижной упругой пористой среде с фазовым переходом.

### 1. Современные технологии

Запасы углеводородного сырья на континенте уменьшаются. Поэтому приходится добывать его на шельфе и разрабатывать способы его добычи на подводных склонах [1]. Возникает сложная техническая задача: как с глубоководного дна (до 1 км глубины) добыть газ, находящийся там в твердом газогидратном состоянии. Мы предлагаем добывать газогидраты на основе следующих существующих современных технологий:

- 1) тепловыделяющие элементы (ТВЭЛ), которые изготавливают из отработанного ядерного топлива АЭС;
- 2) транспортировка жидкой пульпы и сжиженного газа в скважинах и гибких трубопроводах;
- 3) применение центрифуги для разделения газа, жидкости и примесей из пульпы;
- 4) устройство по сжижению газа путем прохождения газа под давлением через упругую пористую среду при умеренном переохлаждении;

- 5) гибкие трубопроводы, выдерживающие давление;
- 6) плавающая затопленная платформа для накопления сжиженного газа;
- 7) плавающий причал для танкера;
- 8) подводная станция из современных прочных материалов;
- 9) автоматическая система управления (АСУ);
- 10) микросейсмика для разведки трещин и контроля за разгазированием газогидратного пласта.

Мы исходим из того, что газогидраты образовались из газа, выходящего из трещин на дне под действием давления и переохлаждения. Трещины забиты гидратом, но могут освободиться в процессе добычи. Поэтому процесс разгазирования необходимо контролировать микросейсмикой. Принципиальная схема разработки газогидратов приведена на рис. 1.

## 2. Упругий скелет пористой среды

Дифференциальные уравнения механики сплошной среды, выражающие законы сохранения массы, импульса и энергии [2], в эйлеровых переменных  $t, \vec{x}$  для скелета имеют вид:

$$\rho_t + \vec{v} \cdot \nabla \rho + \rho \nabla \cdot \vec{v} = 0, \quad (1)$$

$$\vec{v}_t + (\vec{v} \cdot \nabla) \vec{v} = \rho^{-1} \operatorname{div} \Sigma, \quad (2)$$

$$\rho(e_t + \vec{v} \cdot \nabla e) = \Sigma : D + \nabla \cdot (\kappa \nabla T) + \rho r,$$

где  $\rho = \bar{\rho}(1 - m)$  — фиктивная плотность;  $\bar{\rho}$  — плотность;  $m$  — пористость;  $\kappa$  — коэффициента теплопроводности;  $D = \frac{1}{2} \times \left( \frac{\partial v}{\partial x} + \left( \frac{\partial v}{\partial x} \right)^T \right)$  — тензор скоростей деформаций;  $\vec{v}$  — скорость;  $\Sigma$  — тензор напряжений;  $e$  — удельная внутренняя энергия;  $r$  — источники тепла;  $\Sigma : D = \operatorname{tr}(\Sigma D)$ .

Лагранжевы переменные  $t, \vec{\xi}$  вводятся как решение задачи

$$\vec{x}_t = \vec{v}(t, \vec{x}), \quad \vec{x}|_{t=0} = \vec{\xi}.$$

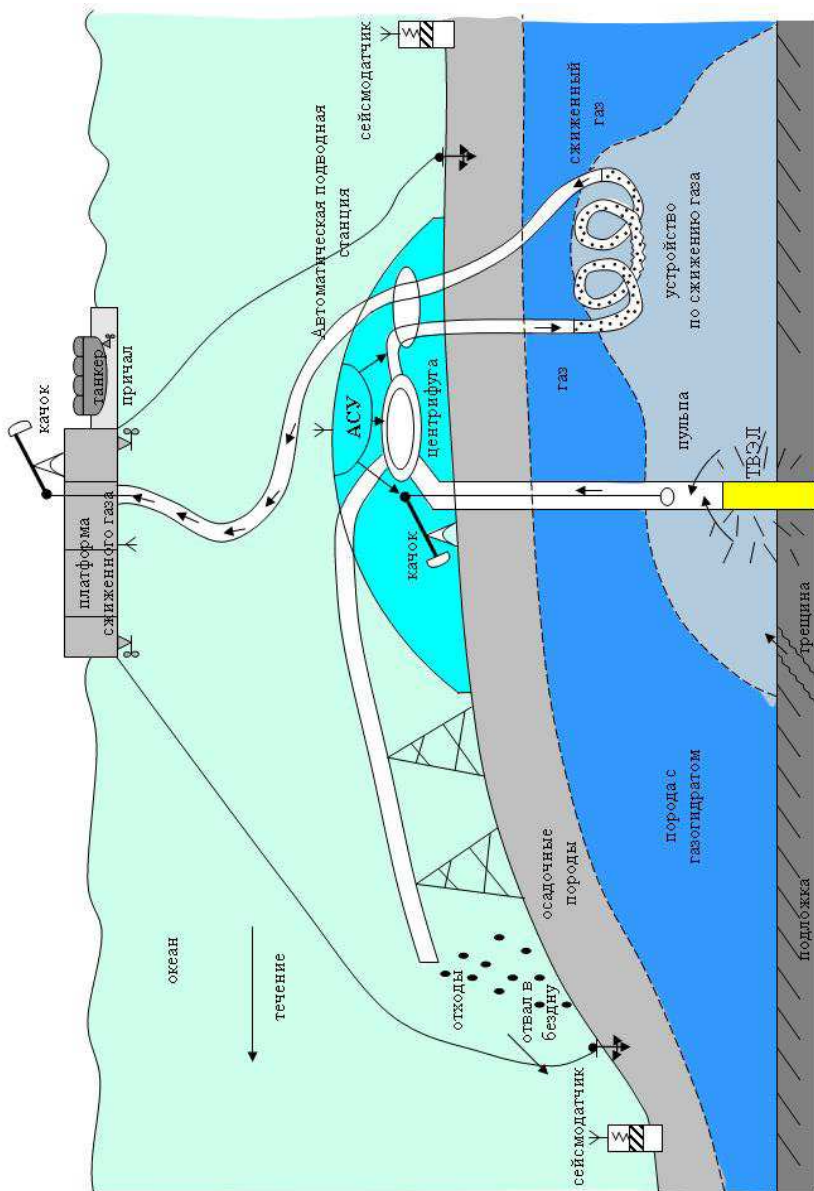


Рис. 1

В теории упругости рассматривают перемещения  $\vec{u} = \vec{x} - \vec{\xi}$ , которые удовлетворяют уравнению

$$\vec{u}_t = \left( I - \frac{\partial u}{\partial x} \right) \vec{v}, \quad \vec{u}|_{t=0} = 0. \quad (3)$$

Градиент деформаций  $\frac{\partial u}{\partial x} = I - F^{-1}$ , где  $F = \frac{\partial x}{\partial \xi}$ , считается малым. Он определяет тензор Альманси  $\varepsilon = \frac{1}{2} (I - F^{T-1} F^{-1}) \cong \cong \frac{1}{2} \left( \frac{\partial u}{\partial x} + \left( \frac{\partial u}{\partial x} \right)^T \right)$ .

Уравнение состояния задают через свободную энергию  $\mathcal{F} = e - TS = \mathcal{F}(T, \varepsilon)$ , где  $T$  — температура;  $S$  — энтропия.

Термодинамическое тождество для изменения количества тепла  $\delta Q = TdS = de - \bar{\rho}^{-1} \Sigma^S : d\varepsilon$ , записанное через свободную энергию

$$d\mathcal{F} + SdT = \bar{\rho}^{-1} \Sigma^S : d\varepsilon,$$

определяет энтропию  $S = -\mathcal{F}_T$ , тензор напряжения в скелете  $\Sigma^S = \bar{\rho} \mathcal{F}_\varepsilon$ , внутреннюю энергию  $e = \mathcal{F} - T\mathcal{F}_T$ . Справедлив закон Дюамеля–Неймана линейной термоупругости при малых

$$T - T_H, \quad \frac{\partial u}{\partial x} : \Sigma^S = (-\gamma(T - T_H) + \lambda \nabla \cdot \vec{u}) I + 2\bar{\mu} \varepsilon, \quad (4)$$

где  $\bar{\gamma} = \bar{\rho}^{-1} \gamma$ ,  $\bar{\lambda} = \bar{\rho}^{-1} \lambda$ ,  $\bar{\mu} = \bar{\rho}^{-1} \mu$  — постоянные коэффициенты.

Коэффициент теплоемкости при постоянном градиенте деформации определяется так  $\delta Q = c_\varepsilon dT$  и равен  $c_\varepsilon = e_T = -T\mathcal{F}_{TT}$ . Вычисляя дифференциал внутренней энергии

$$\begin{aligned} de &= -T\mathcal{F}_{TT}dT + (\mathcal{F}_\varepsilon - T\mathcal{F}_{\varepsilon T}) : d\varepsilon = \\ &= c_\varepsilon dT + [(\bar{\gamma}T_H + \bar{\lambda} \nabla \cdot \vec{u})I + 2\bar{\mu} \varepsilon] : d\varepsilon, \end{aligned}$$

перепишем уравнение энергии для температуры

$$\begin{aligned} c_\varepsilon(T_t + \vec{v} \cdot \nabla T) + (\bar{\gamma}T_0 + \bar{\lambda} \nabla \cdot \vec{u})(\nabla \cdot \vec{u}_t + \vec{v} \cdot \nabla(\nabla \cdot \vec{u})) + \\ + 2\bar{\mu} \varepsilon : D = \bar{\rho}^{-1}(\Sigma : D + \nabla \cdot (\varkappa \nabla T)) + r. \end{aligned} \quad (5)$$

Тензор напряжений складывается из тензора напряжений скелета  $\Sigma^S$  и давления фильтрующихся фаз  $\Sigma^f$ :  $\Sigma = (1-m)\Sigma^S + m\Sigma^f$ .

Выведем связь между пористостью и тензором Альманси. Пусть  $V$  — выделенный объем,  $V_{nop}$  — объем пор в выделенном объеме, тогда

$$V_{nop} = \int_{w(t)} dw = \int_{w(0)} |F| dw_0, \quad m = \frac{dV_{nop}}{dV} \cong |F|m_0.$$

Из определения тензора Альманси вычислим определитель  $|I - 2\varepsilon| = |F|^{-2}$ , т.е.  $|F| = \sqrt{|I - 2\varepsilon|}$ . Тогда пористость вычисляется по формуле

$$m = m_0 \sqrt{\left| I - \frac{\partial u}{\partial x} - \left( \frac{\partial u}{\partial x} \right)^T \right|} \cong m_0 \left( 1 - \frac{1}{2} \nabla \cdot \vec{u} \right), \quad (6)$$

где  $m_0$  — пористость покоящейся среды.

Многофазная фильтрация [3]. В упругом скелете фильтруется  $n$  фаз;  $s_i$  — насыщенность  $i$ -ой фазы (для пор, занятых фазой);  $\vec{u}_i$  — скорость фильтрации  $i$ -ой фазы;  $p_i$  — давление фазы. Здесь  $n = 3$ ,  $s_1$  — газ,  $s_2$  — вода,  $s_3$  — смесь газогидрата и осадочных пород. Выполняется соотношение

$$\sum_{i=1}^3 s_i = 1. \quad (7)$$

Между фазами есть капиллярное давление ( $i < j$ )

$$p_i - p_j = p_{cij} = \sigma_{ij} \sqrt{\frac{m}{k}} \cos \theta_{ij} J(s_i, s_j), \quad (8)$$

где  $\sigma_{ij}$  — коэффициент поверхностного натяжения;  $\theta_{ij}$  — угол смачивания;  $J(s_i, s_j)$  — функция Леверетта;  $k$  — проницаемость. Таким образом, есть только одно независимое давление.

Закон фильтрации имеет вид

$$\vec{u}_i = -\frac{k}{\mu_i} f_i(\vec{s}) \nabla p_i, \quad (9)$$

где  $\mu_i$  — вязкость;  $f_i(\vec{s})$  — относительная проницаемость;  $\vec{s} = (s_1, s_2, s_3)$  — вектор насыщенностей.

Законы сохранения масс задаются уравнениями

$$(m\rho_i s_i)_t + \nabla \cdot (\rho_i \vec{u}_i) = \sum_{k=1}^N Q_{ki} \delta(x - x_k), \quad (10)$$

где правая часть задает источники и стоки (скважины);  $Q_{ki}(t)$  — интенсивности стоков.

Уравнения состояния фаз записывают в виде

$$\rho_i = R_i(p_i, T_i), \quad (11)$$

для жидкостей  $\rho_i$  — постоянны.

При движении фаз возможен скачок насыщенностей, поэтому из законов сохранения надо вывести уравнения сильного разрыва без учета функции Леверетта ( $J = 0$ ). С учетом функции Леверетта возможны решения со слабым разрывом.

Уравнения сохранения энергии фаз имеют вид

$$m c_i s_i T_{it} = \nabla \cdot (m \lambda_i s_i \nabla T_i) - c_i \vec{u}_i \cdot \nabla T_i - c_i \vec{u}_i \cdot \varepsilon_i \nabla p_i, \quad (12)$$

где  $c_i$  — коэффициент теплоемкости фазы;  $\lambda_i$  — коэффициент теплопроводности фазы;  $\varepsilon_i$  — коэффициент дросселирования.

Можно добавить концентрацию малого по объему вещества в  $i$ -ую фазу:

$$c_{it} + \vec{u}_i \cdot \nabla \vec{c}_i = d_i \nabla \vec{c}_i, \quad (13)$$

где  $d_i$  — коэффициент диффузии.

Все введенные коэффициенты  $i$ -ой фазы есть функции температуры  $T_i$  и концентрации  $c_i$  и должны определяться опытами.

Давление фильтрующихся фаз определяются по среднему давлению фаз

$$\Sigma^f = - \left( \sum_{i=1}^3 s_i p_i \right) I. \quad (14)$$

Уравнения (1)–(14) задают замкнутую систему вполне определенную для функций  $\bar{\rho}$ ,  $\vec{v}$ ,  $\vec{u}$ ,  $T$ ,  $p_i$ ,  $s_i$ ,  $T_i$ ,  $\vec{u}_i$ .

### 3. Фазовый переход

Граница  $\Gamma$  между пульпой и твердым газогидратом определяется фазовой диаграммой газогидрата:

$$T_0 = T_*(p_0), \quad 3p_0 = \text{tr}\Sigma_0. \quad (15)$$

Термодинамика разложения газогидратов изучена недостаточно для больших давлений, когда возможны фазовые переходы кристаллов. В условиях подводных склонов фазовая кривая углеводородов изучена хорошо [1].

Фазовый переход — это поверхность сильного разрыва.

Пусть движение твердой упругой фазы газогидрата удовлетворяет уравнениям в эйлеровых координатах:

$$\begin{aligned} \rho_{0t} + \vec{v}_0 \cdot \nabla \rho_0 + \rho_0 \nabla \cdot \vec{v}_0 &= 0, \quad \vec{u}_{0t} = \left( I + \frac{\partial u_0}{\partial x} \right) \vec{v}_0, \\ \rho_0 (\vec{v}_{0t} + (\vec{v}_0 \cdot \nabla) \vec{v}_0) &= \text{div} \Sigma_0, \\ \rho_0 (e_{0t} + \vec{v}_0 \cdot \nabla e_0) &= \Sigma_0 : D_0 + \nabla \cdot (\varkappa \nabla T_0), \end{aligned} \quad (16)$$

где  $e_0 = \mathcal{F}_0 - T_0 \mathcal{F}_{T_0}$ ,  $\mathcal{F} = \mathcal{F}_0(T_0, \varepsilon_0)$  — уравнения состояния;  $\Sigma_0 = \rho_0 \mathcal{F}_{0\varepsilon_0} = (-\gamma_0(T_0 - T_H) + \lambda_0 \nabla \cdot \vec{u}_0)I + 2\mu_0 \varepsilon_0$ ,  $\varepsilon_0 = \frac{1}{2} \times \left( \frac{\partial u_0}{\partial x} + \left( \frac{\partial u_0}{\partial x} \right)^T \right)$ .

Из сохранения массы, импульса и энергии на фазовой границе  $\Gamma$   $h(t, \vec{x}) = 0$  следуют соотношения [4]:

$$\rho_0 (v_{0n} - D_n) = (1 - m) \bar{\rho} (v_n - D_n) + \sum_{i=1}^3 m s_i \rho_i (u_{in} - D_n), \quad (17)$$

$$\Sigma_0 \vec{n} - (1 - m) \Sigma^S \vec{n} - m \Sigma^f \vec{n} = 2\sigma H \vec{n} + \nabla_\Gamma \sigma, \quad (18)$$

$$\varkappa_0 \frac{\partial T_0}{\partial n} - \varkappa \frac{\partial T}{\partial n} = T \sigma'(T) \nabla_\Gamma \cdot \vec{v} + T \sigma''(T) \frac{dT}{dt}, \quad (19)$$

где  $\vec{n} = \frac{\nabla h}{|\nabla h|}$  — нормаль к поверхности  $\Gamma$  в сторону пульпы;  $v_n = \vec{v} \cdot \vec{n}$ ,  $\frac{\partial T}{\partial n} = \vec{n} \cdot \nabla T$ ,  $\nabla_\Gamma = \nabla - \vec{n}(\vec{n} \cdot \nabla)$  — поверхностный градиент;  $D_n = -\frac{h_t}{\vec{n} \cdot \nabla h}$  — скорость поверхности  $\Gamma$  в направлении нормали;  $H$  — средняя кривизна поверхности  $\Gamma$ ;  $\sigma(T)$  — коэффициент поверхностного натяжения играет роль свободной энергии на поверхности  $\sigma = e - Ts$ . При этом термодинамическое тождество на поверхности имеет вид  $d\sigma = -SdT$ , а  $-T\sigma''(T) = \frac{de}{dT} = c_\Gamma \geq 0$  — удельная теплоемкость поверхности раздела.

Условия непрерывности на фазовой поверхности таковы:

$$\vec{u}_0 = \vec{u}, \quad \vec{v}_0 = \vec{v} = \vec{u}_i, \quad T_0 = T = T_i, \quad (20)$$

$$e_0 - T_0 S_0 + \Sigma_0 : \varepsilon_0 = (1 - m)(e - TS + \Sigma^S : \varepsilon) + m \sum_{i=1}^3 s_i (e_i - T_i S_i + p_i \rho_i^{-1}), \quad (21)$$

где равенство (21) означает непрерывность химического потенциала [5], который равен термодинамическому потенциалу, деленному на число молей. Уравнение (21) определяет фазовую диаграмму (15) и потому эти условия взаимозаменяемы.

Обычно поверхностное натяжение аппроксимируют линейной зависимостью

$$\sigma = \sigma_0 - \varkappa(T - T_H),$$

где  $\sigma_0$ ,  $T_H$  — положительные постоянные;  $\varkappa$  — температурный коэффициент поверхностного натяжения. Уравнение (18) служит для определения движения поверхности фазового перехода (свободная поверхность).

Разрешимость задачи со свободной границей (15)–(21) — сложнейшая задача. Для одномерных теплопроводных задач



Стефана она имеет решение [6]. Приведенная здесь задача должна решаться численным путем.

Постановка начальных и краевых условий стандартна и затруднений не вызывает.

Авторы благодарят Е. А. Налобину за работу по оформлению статьи.

### **Список литературы**

- [1] Российский химический журнал. 2003. Т. 47, № 3 (статьи о газо-гидратах).
- [2] Хабиров С. В. Теория поля. Уравнения механики сплошной среды. Уфа: УГАТУ, 1994. 42 с.
- [3] Баренблатт Г. И., Ентов В. М., Рыжик В. М. Теория нестационарной фильтрации жидкости и газа. М.: Недра, 1972. 288 с.
- [4] Андреев В. К., Гапоненко Г. А., Гончарова О. Н., Пухлячев В. В. Современные математические модели конвекции. М.: Физматлит, 2008. 368 с.
- [5] Румер Ю. Б., Рывкин М. Ш. Термодинамика, статическая физика и кинетика. Новосибирск: НГУ, 2001. 608 с.
- [6] Мейрманов А. М. Задача Стефана. Новосибирск: Наука, 1986. 239 с.